

Санкт-Петербургский государственный университет

**Нигомедьянов Даниил Дамирович**

Выпускная квалификационная работа

**Построение бесконечной серии трехмерных  
гиперболических многообразий, сложности которых  
известны**

Программа магистратуры:

Направление 01.04.01 "Математика"

Образовательная программа ВМ.5832.2021 "Современная математика"

Научный руководитель:

доцент факультета Математики  
и компьютерных наук СПбГУ,  
доктор ф.-м. наук,  
Фоминых Евгений Анатольевич

Рецензент:

научный сотрудник  
математического факультета  
ЧелГУ,  
кандидат ф.-м. наук,  
Таркаев Владимир Викторович.

Санкт-Петербург

2023

## СОДЕРЖАНИЕ

Обозначения	3
1. Введение	4
1.1. Гомологически минимальные триангуляции	5
1.2. Разбиение класса $\mathcal{M}_h$ на три подкласса	5
1.3. Постановка задачи и формулировка основного результата	5
2. Идеальные триангуляции и специальные полиэдры	6
2.1. Специальные полиэдры с краем	6
2.2. Критерий утолщаемости специальных полиэдров	7
2.3. Двойственность между идеальными триангуляциями и специальными спайнами	8
3. Задание гомологически минимальных полиэдров при помощи шаблонов	8
3.1. Гомологически минимальные полиэдры	8
3.2. Шаблоны	9
3.3. Комбинаторное разложение гомологически минимальных полиэдров	11
3.4. Сюръективность комбинаторного разложения	13
4. Утолщаемость гомологически минимальных полиэдров	15
4.1. Доказательство предложения 2	16
4.2. Доказательство теоремы 6	17
5. Доказательство теоремы 1	18
6. Доказательство теоремы 2	20
Список литературы	22

## ОБОЗНАЧЕНИЯ

*Общепринятые обозначения.*

- $P$  – специальный полиэдр (с краем)
- $SP$  – особый граф специального полиэдра  $P$  (с краем)
- $M$  – компактное 3-многообразие с краем
- $\partial M$  – край многообразия  $M$
- $c_{\Delta}(M)$  – триангуляционная сложность многообразия  $M$
- $\mathcal{T}$  – идеальная триангуляция
- $\alpha$  – 2-клетка (специального полиэдра)
- $\partial\alpha$  – граничная кривая 2-клетки  $\alpha$

*Обозначение основных множеств объектов и отображений.*

- $\mathcal{T}_e$  – множество гомологически минимальных триангуляций обладающих чётными рёбрами
- $\mathcal{M}_h$  – множество компактных 3-многообразий с краем, обладающих гомологически минимальными триангуляциями
- $\mathcal{M}_e$  – класс многообразий, обладающих идеальными триангуляциями из  $\mathcal{T}_e$
- $\mathcal{M}_o^1$  – класс многообразий, обладающих гомологически минимальными триангуляциями содержащими ровно одно рёбро
- $\mathcal{M}_o^2$  – класс многообразий, обладающих гомологически минимальными триангуляциями содержащими ровно три нечётных рёбра
- $\mathcal{P}_e^*$  – множество гомологически минимальных полиэдров
- $\mathcal{P}_e$  – множество утолщаемых гомологически минимальных полиэдров
- $\mathcal{S}^*$  – множество шаблонов
- $\mathcal{S}$  – множество утолщаемых шаблонов
- $\mathcal{S}^c$  – множество шаблонов с противоходом
- $\mathcal{D}$  – комбинаторное разложение
- $\mathcal{A}$  – множество допустимых пар

*Технические обозначения.*

- $S$  – шаблон
- $(\Phi, \Gamma, \gamma)$  – оснащённая поверхность
- $(\Phi^S, \Gamma^S, \gamma^S)$  – оснащённая поверхность шаблона  $S$
- $\Gamma_0^S$  – граф шаблона  $S$ , дополняющий набор оснащённых поверхностей того же шаблона
- $\phi^S$  – биекция шаблона  $S$
- $AG^S$  – граф, ассоциированный с шаблоном  $S$
- $d = d(P)$  – число 2-клеток специального полиэдра  $P$

## 1. ВВЕДЕНИЕ

В данной работе рассматриваются исключительно компактные 3-многообразия с непустым краем. Пусть  $\Delta$  обозначает стандартный тетраэдр. *Идеальной триангуляцией* компактного 3-многообразия  $M$  с непустым краем называется реализация внутренности  $M$  в виде склейки конечного числа копий  $\Delta$  с удалёнными вершинами по аффинным гомеоморфизмам их граней. Идеальная триангуляция многообразия  $M$  называется *минимальной*, если она содержит наименьшее число тетраэдров среди всех идеальных триангуляций данного многообразия. Число тетраэдров в минимальной идеальной триангуляции многообразия  $M$  называется *триангуляционной сложностью* и обозначается через  $s_{\Delta}(M)$ .

Триангуляционную сложность, как и многие другие инварианты аналогичного типа, довольно трудно вычислять. В первую очередь точные значения триангуляционной сложности известны для многообразий, табулированных при помощи компьютера. Полная таблица ориентируемых гиперболических многообразий с каспами до сложности 9 включительно, описанная в [1], содержит 162 182 минимальных идеальных триангуляций для 61 911 многообразий. Все эти многообразия вместе с триангуляциями включены в компьютерные программы SnapPy [2] и Regina [3]. В [4] перечисляются все гиперболические многообразия с каспами, получающиеся склейкой правильных гиперболических идеальных тетраэдров, до сложности 25 включительно. М. Фуджи в [5] показал, что имеется лишь 8 различных ориентируемых гиперболических 3-многообразий с вполне геодезическим краем сложности 2. В последствии Р. Фриджеро, Б. Мартелли и К. Петронио классифицировали в [6] все компактные ориентируемые гиперболические 3-многообразия конечного объема с непустым вполне геодезическим краем до сложности 4 включительно.

На данный момент известны лишь несколько бесконечных серий компактных связных 3-многообразий с краем, для которых удалось установить точное значение триангуляционной сложности. Первая бесконечная серия была описана Р. Фриджеро, Б. Мартелли и К. Петронио в работе [7]. Многообразия этой серии обладают идеальными триангуляциями с единственным ребром. Вопрос минимальности идеальных триангуляций, обладающих ровно двумя рёбрами был исследован А. Ю. Весниным, В. Г. Тураевым и Е. А. Фоминых в работе [8]. В работе [9] А. В. Малютин, Е. А. Фоминых и Е. В. Шумакова установили точное значение триангуляционной сложности для бесконечного семейства 3-многообразий с краем, задаваемых 4-регулярными графами с тремя эйлеровыми циклами. Минимальные идеальные триангуляции таких многообразий содержат в точности три ребра.

В работе [10] Р. Фриджеро, Б. Мартелли и К. Петронио описали двухпараметрическое семейство  $\{\mathcal{M}_{g,k}\}_{g \geq k > 0}$  компактных ориентируемых 3-многообразий с краем. По определению компактное ориентируемое трехмерное многообразие  $M$  лежит в множестве  $\mathcal{M}_{g,k}$ , если оно обладает идеальной триангуляцией с  $g + k$  тетраэдрами, и его край  $\partial M$  состоит из замкнутой ориентируемой поверхности рода  $g$  и  $k$  торов. Было доказано, что такие многообразия являются гиперболическими, и триангуляционная сложность многообразий из  $\mathcal{M}_{g,k}$  равняется  $g + k$ . Отметим, что минимальные идеальные триангуляции многообразий из семейства  $\{\mathcal{M}_{g,k}\}_{g \geq k > 0}$ , не ограничены по числу рёбер.

**1.1. Гомологически минимальные триангуляции.** В [11] мы доказали, что триангуляционная сложность компактного 3-многообразия  $M$  с краем оценивается снизу первым числом Бетти  $\beta_1(M, \mathbb{Z}/2\mathbb{Z})$  гомологий многообразия  $M$  с коэффициентами в группе  $\mathbb{Z}/2\mathbb{Z}$ . Идеальную триангуляцию  $\mathcal{T}$  компактного 3-многообразия  $M$  с краем будем называть *гомологически минимальной*, если она содержит в точности  $\beta_1(M, \mathbb{Z}/2\mathbb{Z})$  тетраэдров; гомологически минимальные триангуляции и их свойства изучались в [11]. Обозначим через  $\mathcal{M}_h$  класс компактных связных 3-многообразий с краем, обладающих гомологически минимальными триангуляциями. Ясно, что всякая гомологически минимальная триангуляция минимальна, и триангуляционная сложность многообразия  $M \in \mathcal{M}_h$  равна  $\beta_1(M, \mathbb{Z}/2\mathbb{Z})$ . Также мы доказали, что все многообразия из класса  $\mathcal{M}_h$ , за исключением шести многообразий триангуляционной сложности меньшей четырёх, являются гиперболическими многообразиями с вполне геодезическим краем и каспами. Более того, каждое многообразие из  $\mathcal{M}_h$  обладает единственной минимальной триангуляцией, а именно, гомологически минимальной.

**1.2. Разбиение класса  $\mathcal{M}_h$  на три подкласса.** Тетраэдры до склейки, а также их вершины, рёбра и грани будем называть *модельными клетками*. Ребро  $e$  идеальной триангуляции будем называть *чётным* (соотв., *нечётным*), если каждая модельная грань содержит чётное (соотв., нечётное) число *прообразов* данного ребра (то есть модельных рёбер, которые дают ребро  $e$  после склейки модельных тетраэдров). Стоит отметить, что идеальная триангуляция общего положения не содержит ни чётных, ни нечётных рёбер. В [11] мы доказали, что любая гомологически минимальная триангуляция содержит только чётные и нечётные рёбра, и наоборот любая идеальная триангуляция, содержащая только чётные и нечётные рёбра, является гомологически минимальной. Более того, мы показали, что множество всех гомологически минимальных триангуляций разбивается на три подмножества:

- $\mathcal{T}_o^1$ : триангуляции, содержащие ровно одно ребро, и оно нечётно;
- $\mathcal{T}_o^2$ : триангуляции, содержащие ровно три ребра, и они нечётны;
- $\mathcal{T}_e$ : триангуляции, содержащие хотя бы два ребра, одно из которых нечётно, а остальные — чётны.

Обозначим через  $\mathcal{M}_o^1$  (соотв.,  $\mathcal{M}_o^2$  или  $\mathcal{M}_e$ ) класс компактных 3-многообразий с краем, обладающих идеальными триангуляциями из  $\mathcal{T}_o^1$  (соотв.,  $\mathcal{T}_o^2$  или  $\mathcal{T}_e$ ). В [11] показано, что эти классы попарно не пересекаются, а потому задают разбиение класса  $\mathcal{M}_h$ . Более того, класс  $\mathcal{M}_o^2$  совпадает с классом многообразий из работы [9], а ориентируемые многообразия из  $\mathcal{M}_o^1$  описаны в [7]. В обеих работах доказывается непустота соответствующих классов, а также строятся бесконечные серии многообразий в них содержащиеся. Класс  $\mathcal{M}_e$  содержит в себе двухпараметрическое семейство  $\{\mathcal{M}_{g,k}\}_{g \geq k > 0}$  из работы [10], а потому он тоже не пуст и бесконечен. Тем не менее, при помощи компьютера были найдены несколько примеров многообразий, лежащих в дополнении семейства  $\{\mathcal{M}_{g,k}\}_{g \geq k > 0}$  в классе  $\mathcal{M}_e$ .

**1.3. Постановка задачи и формулировка основного результата.** В силу вышесказанного естественно ставить задачу о построении бесконечных серий 3-многообразий в  $\mathcal{M}_e \setminus \{\mathcal{M}_{g,k}\}_{g \geq k > 0}$ . Дополнительный интерес к поиску новых бесконечных серий 3-многообразий в классе  $\mathcal{M}_e$  обусловлен их гиперболичностью и известными значениями как триангуляционной сложности, так и сложности Матвеева.

Для формулировки основного результата введём понятия короткой и длинной компоненты края 3-многообразия. Компоненту связности края многообразия  $M$  будем называть *длинной*, если она имеет наименьшее значение эйлеровой характеристики среди всех компонент края  $\partial M$ , в противном случае, её будем называть *короткой*.

Определим отображение  $G$  из класса  $\mathcal{M}_e$  в множество пар  $(\mathcal{F}, b)$ , где  $\mathcal{F}$  — замкнутая поверхность и  $b \in \mathbb{N}$ . Многообразию  $M \in \mathcal{M}_e$  сопоставим пару  $G(M)$ , состоящую из объединения коротких компонент края  $\partial M$  и второго числа Бетти гомологий многообразия  $M$  с коэффициентами в группе  $\mathbb{Z}/2\mathbb{Z}$ . Пару  $(\mathcal{F}, b)$  будем называть *допустимой*, если среди компонент связности  $\mathcal{F}$  нет сфер и проективных плоскостей, а также  $b$  не меньше числа компонент связности  $\mathcal{F}$ . Множество допустимых пар обозначим через  $\mathcal{A}$ . Из результатов работы [11] следует, что пары, сопоставляемые многообразиям из класса  $\mathcal{M}_e$  посредством отображения  $G$ , являются допустимыми, то есть  $G(\mathcal{M}_e) \subseteq \mathcal{A}$ .

Основной результат данной работы сформулирован в теоремах 1 и 2.

**Теорема 1.** *Для любой допустимой пары  $(\mathcal{F}, b) \in \mathcal{A}$  число многообразий в  $G^{-1}(\mathcal{F}, b)$  бесконечно и как функция от триангуляционной сложности  $s$ , имеет асимптотику типа  $s^c$ .*

Тривиальным следствием теоремы 1 является равенство  $G(\mathcal{M}_e) = \mathcal{A}$ . Отметим также, что доказательство теоремы 1 носит конструктивный характер, а именно по заданной допустимой паре  $(\mathcal{F}, b)$  строится бесконечная серия 3-многообразий из класса  $\mathcal{M}_e$ , содержащихся в  $G^{-1}(\mathcal{F}, b)$ . Наконец, совокупность коротких компонент края  $\partial M$  и второе число Бетти гомологий многообразия  $M$  с коэффициентами в группе  $\mathbb{Z}/2\mathbb{Z}$  позволяют характеризовать семейство  $\{\mathcal{M}_{g,k}\}_{g \geq k > 0}$  как подмножество в классе  $\mathcal{M}_e$ , что сформулировано в теореме 2.

**Теорема 2.** *Ориентируемое многообразие  $M$  из класса  $\mathcal{M}_e$  попадает в семейство  $\{\mathcal{M}_{g,k}\}_{g \geq k > 0}$  тогда и только тогда, когда  $G(M) = (\sqcup_{i=1}^k \mathbb{T}_i, k)$  для некоторого  $k \in \mathbb{N}$ , где  $\mathbb{T}_i$  — торы.*

Из теорем 1 и 2 следует, что дополнение семейства  $\{\mathcal{M}_{g,k}\}_{g \geq k > 0}$  в классе  $\mathcal{M}_e$  не пусто и бесконечно. Таким образом, поставленная в работе задача решена.

## 2. ИДЕАЛЬНЫЕ ТРИАНГУЛЯЦИИ И СПЕЦИАЛЬНЫЕ ПОЛИЭДРЫ

Сформулируем основные понятия и конструкции из теории сложности 3-многообразий, введённые С.В. Матвеевым в [12].

### 2.1. Специальные полиэдры с краем.

**Определение.** *Компактный полиэдр  $P$  называется простым полиэдром с краем, если линк каждой его точки  $x \in P$  гомеоморфен одному из следующих одномерных полиэдров:*

- (а) окружности (такая точка  $x$  называется неособой);
- (б) окружности с диаметром (такая точка  $x$  называется тройной точкой);
- (в) окружности с тремя радиусами (такая точка  $x$  называется истиной вершиной);
- (д) отрезку (такая точка  $x$  называется неособой точкой края);
- (е) букету трёх отрезков с общим концом (такая точка  $x$  называется особой точкой края).

Компоненты связности объединения всех тройных точек и объединения всех неособых точек называются, соответственно, *тройными линиями* и *2-компонентами* полиэдра  $P$ . Множество точек полиэдра  $P$  типов (d) и (e) называется *краем* полиэдра  $P$  и обозначается через  $\partial P$ . Множество особых точек полиэдра  $P$  (то есть объединение тройных линий, истинных вершин и особых точек края) называется его *особым графом* и обозначается  $SP$ . Простой полиэдр с краем естественным образом стратифицирован: каждый страт размерности 2 является 2-компонентой; страты размерности 1 – это открытые или замкнутые тройные линии, а также связные компоненты неособых точек края; страты размерности 0 – это истинные вершины и особые точки края.

Простой полиэдр  $P$  с краем будем называть *специальным*, если каждый двумерный страт полиэдра  $P$  является открытой 2-клеткой, и  $P$  не содержит замкнутых тройных линий. Если специальный полиэдр  $P$  с краем не является замкнутым диском, его особый граф  $SP$  не пуст и является графом с вершинами валентности 1 и 4, поэтому тройные линии  $P$  естественно называть *рёбрами* особого графа.

Несложно видеть, что край связного специального полиэдра  $P$  с краем либо является окружностью (и  $P$  является диском), либо обладает структурой 3-регулярного графа, либо имеет пустой край. В последнем случае  $P$  будем называть *специальным полиэдром*. В дальнейшем нас будут интересовать только связные специальные полиэдры с краем, и характеристика "связный" будет опускаться.

**2.2. Критерий утолщаемости специальных полиэдров.** Полиэдр  $P$  *коллапсируется* на свой подполиэдр  $Q$ , если для некоторой триангуляции  $(K, L)$  пары  $(P, Q)$  комплекс  $K$  коллапсируется на  $L$  с помощью последовательности элементарных симплициальных коллапсирований. Подполиэдр  $P$  компактного связного 3-многообразия  $M$  с краем называется *спайном*  $M$ , если  $M$  коллапсируется на  $P$  после выбора достаточно мелкой триангуляции пары  $(M, P)$ . Спайн 3-многообразия называется *специальным*, если он является специальным полиэдром. Важно отметить, что не любой специальный полиэдр является спайном некоторого компактного 3-многообразия с непустым краем. В случае, когда это так, специальный полиэдр называют *утолщаемым* (или же специальным спайном).

Для любой 2-клетки  $\alpha$  специального полиэдра  $P$  имеет место характеристическое отображение  $f : D^2 \rightarrow P$ , которое гомеоморфно отображает внутренность диска  $D^2$  на  $\alpha$ , а ограничение которого на  $S^1 = \partial D^2$  является локальным вложением. Кривая  $f|_{\partial D^2} : \partial D^2 \rightarrow P$  (и ее образ  $f|_{\partial D^2}(\partial D^2)$ ) называется *границной кривой* клетки  $\alpha$  и обозначается  $\partial\alpha$ .

Обозначим через  $A \cup D$  кольцо  $S^1 \times I$  с диском  $D^2$ , приклеенным вдоль средней окружности, и через  $M \cup D$  – лист Мёбиуса с диском  $D^2$ , приклеенным вдоль средней линии. Будем говорить, что границная кривая 2-клетки  $\alpha$  специального полиэдра  $P$  имеет *тривиальное* или *нетривиальное нормальное расслоение*, если её характеристическое отображение  $f : D^2 \rightarrow P$  продолжается до локального вложения  $f^{A \cup D} : A \cup D \rightarrow P$  или до локального вложения  $f^{M \cup D} : M \cup D \rightarrow P$ , соответственно.

**Теорема 3** ([12, Теорема 1.1.20]). *Специальный полиэдр  $P$  утолщаем тогда и только тогда, когда граничные кривые всех его 2-клеток имеют тривиальные нормальные расслоения.*

**2.3. Двойственность между идеальными триангуляциями и специальными спайнами.** Идеальной триангуляцией  $\mathcal{T}$  компактного 3-многообразия  $M$  с непустым краем естественным образом сопоставляется двойственный специальный полиэдр, который является спайном  $M$ . Каждому тетраэдру  $\Delta_i$  триангуляции  $\mathcal{T}$  сопоставим полиэдр  $R_i$  являющийся объединением линков вершин  $\Delta_i$  в первом барицентрическом подразбиении. Аффинная склейка граней тетраэдров  $\Delta_i$  индуцирует склейку соответствующих полиэдров  $R_i$ . В результате получается специальный спайн  $P$  многообразия  $M$ . В действительности, сопоставление  $\mathcal{T} \rightarrow P$  индуцирует биекцию между идеальными триангуляциями и специальными спайнами многообразия  $M$ , что в подробностях описано в [12].

### 3. ЗАДАНИЕ ГОМОЛОГИЧЕСКИ МИНИМАЛЬНЫХ ПОЛИЭДРОВ ПРИ ПОМОЩИ ШАБЛОНОВ

Напомним, что каждое многообразие из  $\mathcal{M}_e$  обладает единственной минимальной триангуляцией из множества  $\mathcal{T}_e$ . А потому, задача построения бесконечных серий многообразий из класса  $\mathcal{M}_e$  сводится к задаче построения бесконечных серий гомологически минимальных триангуляций из множества  $\mathcal{T}_e$ . Оказалось, что все построения удобнее проводить на двойственном языке специальных спайнов.

**Замечание 1.** *Поскольку нас интересуют многообразия из класса  $\mathcal{M}_e$ , то мы сузим множество гомологически минимальных триангуляций до множества  $\mathcal{T}_e$ .*

**3.1. Гомологически минимальные полиэдры.** Дадим понятие гомологически минимальных полиэдров, которые будут связаны с гомологически минимальными триангуляциями. Напомним, что гомологически минимальные триангуляции обладают только чётными и нечётными рёбрами. Переходя на двойственный язык специальных полиэдров, введём понятие чётных и нечётных 2-клеток. Будем говорить, что 2-клетка  $\alpha$  специального полиэдра  $P$  является *чётной* (соотв., *нечётной*), если её граничная кривая  $\partial\alpha$  проходит по каждому ребру особого графа  $SP$  чётное (соотв., нечётное) число раз. Специальный полиэдр, содержащий хотя бы две 2-клетки, одна из которых нечётная, а остальные чётные, будем называть *гомологически минимальным*. Обозначим через  $\mathcal{P}_e^*$  множество гомологически минимальных специальных полиэдров. В дальнейшем, характеристика "специальный" будет опускаться для простоты. Подмножество утолщаемых полиэдров из  $\mathcal{P}_e^*$  обозначим через  $\mathcal{P}_e$ . Из определения видно, что утолщаемые гомологически минимальные полиэдры двойственны гомологически минимальным идеальным триангуляциям. И, следовательно, каждое многообразие из  $\mathcal{M}_e$  обладает единственным гомологически минимальным спайном. Тем не менее, сначала мы опустим вопрос утолщаемости и будем строить гомологически минимальные полиэдры.

Напомним, что специальный полиэдр обладает структурой двумерного клеточного комплекса и, следовательно, может быть получен посредством приклеивания к 4-регулярному графу нескольких 2-клеток так, чтобы у точек на рёбрах и в вершинах графа образовались правильные окрестности. И, кроме того, чтобы получившийся полиэдр оказался гомологически минимальным, 2-клетки нужно приклеивать к графу так, чтобы ровно одна из них оказалась нечётной, а остальные — чётными. Для этого будем приклеивать клетки в два шага.

**Шаг 1** Приклеим к 4-регулярному графу все чётные 2-клетки. Получившийся полиэдр, как и все полиэдры такого типа, будем называть *промежуточным*.

Шаг 2 К промежуточному полиэдру приклеим ровно одну 2-клетку так, чтобы получился специальный полиэдр. Эта 2-клетка автоматически окажется нечётной.

На шаге 2 возникает препятствие, поскольку не любой промежуточный полиэдр можно достроить до специального приклеиванием ровно одной 2-клетки. Например к тору с заданными на нём параллелью и меридианом невозможно приклеить нечётную 2-клетку, поскольку через вершину валентности 4 на торе её граничная кривая должна проходить трансверсально. Также не очевидно, каким именно образом на шаге 1 приклеивать чётные 2-клетки к 4-регулярному графу. С целью преодоления описанного выше препятствия вводятся шаблоны. Они позволяют явным образом задать те и только те промежуточные полиэдры, которые можно достроить до гомологически минимальных полиэдров.

### 3.2. Шаблоны.

**Определение.** Пусть  $\Phi$  — связная замкнутая поверхность. Оснащением поверхности  $\Phi$  называется такое гладкое погружение  $\gamma : \Gamma \rightarrow \Phi$ , что:

- $\Gamma$  — 3-регулярный граф или окружность;
- $\gamma$  инъективно в окрестности вершин графа  $\Gamma$ ;
- любая сингулярная точка  $\gamma(\Gamma)$  является двойной точкой трансверсального самопересечения;
- $\Phi \setminus \gamma(\Gamma)$  — открытый диск.

Поверхность  $\Phi$  с оснащением  $\gamma : \Gamma \rightarrow \Phi$  будем называть оснащённой поверхностью, и обозначать  $(\Phi, \Gamma, \gamma)$ .

**Замечание 2.** Несложно видеть, что на сфере и проективной плоскости не существует оснащений, поскольку оснащение задаёт на поверхности структуру клеточного комплекса неположительной эйлеровой характеристики.

Существование оснащённых поверхностей гарантируется следующим предложением.

**Предложение 1.** Пусть  $\Phi$  — связная замкнутая поверхность, отличная от сферы и проективной плоскости. Тогда на поверхности  $\Phi$  можно задать оснащение  $\gamma : \Gamma \rightarrow \Phi$ . Более того:

- (1) всегда существует оснащение, являющееся вложением;
- (2) если  $\chi(\Phi) < 0$ , то существует оснащение, содержащее хотя бы одну двойную точку.

*Доказательство.* Докажем сначала пункт 1 предложения. Будем строить 3-регулярный граф  $\Gamma$ , вложенный в поверхность  $\Phi$ . Рассмотрим стандартную развёртку поверхности  $\Phi$ , заметим, что все вершины многоугольника в развёртке склеиваются в одну вершину на поверхности, обозначим её через  $v_0$ . Таким образом мы уже получили некоторый граф  $\Gamma_0$  на поверхности, дополнение которого есть открытый 2-диск. Остается лишь преобразовать граф  $\Gamma_0$  в окрестности вершины  $v_0$ , расщепив её на несколько вершин, и получить искомым граф  $\Gamma$ . Пример таких преобразований приведён на рисунке 1.

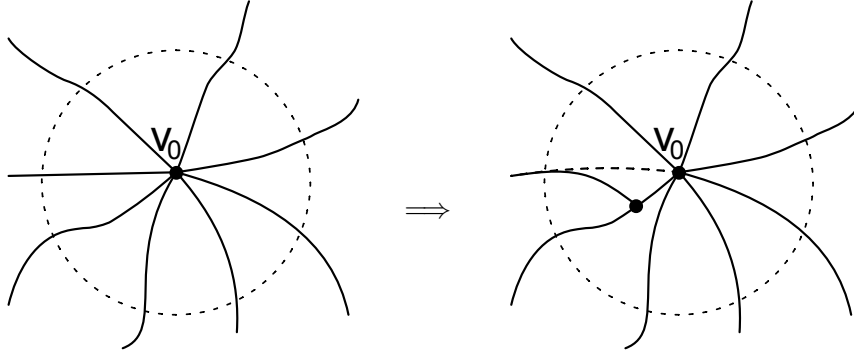


Рис. 1. Пример преобразования окрестности вершины  $v_0$  развёртки поверхности, в результате которого возникает новая вершина валентности 3, а также понижается валентность вершины  $v_0$ .

Теперь докажем пункт 2. Пусть  $\chi(\Phi) < 0$ . Из пункта 1 существует такое оснащение  $\gamma_0 : \Gamma_0 \rightarrow \Phi$ , что граф  $\Gamma_0$  связан, и  $\gamma_0$  является вложением. А потому граф  $\Gamma_0$  можно считать вложенным в поверхность.

Если ребро  $e$  графа  $\Gamma_0$  не является петлёй, то его можно стянуть вдоль самого себя на поверхности и получить новый граф  $\Gamma_1 = \Gamma_0/e$ , содержащий одну вершину валентности 4. Поймём, при каких условиях граф  $\Gamma_1$  является образом некоторого оснащения поверхности  $\Phi$ . Если ребро  $e$  было кратным в графе  $\Gamma_0$ , то в графе  $\Gamma_1$  образуется петля  $e'$ , которая на поверхности трансверсально пересекается с  $\Gamma_1 \setminus e'$ . В этом случае граф  $\Gamma_1$  не является погружением никакого 3-регулярного графа, а в противном случае — является.

Остаётся показать, что в графе  $\Gamma_0$  найдётся ребро  $e$ , не являющееся петлёй и имеющее кратность 1. Поймём, что такое ребро найдётся при каждой вершине графа  $\Gamma_0$ . Это следует из того, что граф  $\Gamma_0$  3-регулярен, связан и содержит хотя бы четыре вершины (в силу того, что  $\chi(\Phi) < 0$ ).  $\square$

**Определение.** Шаблон  $S$  будем называть следующей совокупность данных:

- набор оснащённых поверхностей  $(\Phi_1^S, \Gamma_1^S, \gamma_1^S), \dots, (\Phi_n^S, \Gamma_n^S, \gamma_n^S)$  для некоторого  $n \in \mathbb{N}$ ;
- граф  $\Gamma_0^S$ , содержащий только вершины валентности 1 и 4, причём число вершин валентности 1 графа  $\Gamma_0^S$  равно суммарному числу вершин графов  $\Gamma_1^S, \dots, \Gamma_n^S$ ; будем называть его дополняющим графом набора оснащённых поверхностей;
- биекцию  $\kappa^S$  между множеством вершин валентности 1 графа  $\Gamma_0^S$  и вершинами графов  $\Gamma_1^S, \dots, \Gamma_n^S$  такую, что граф  $AG^S = \Gamma_0^S \cup_{\kappa^S} \sqcup_{i=1}^n \Gamma_i^S$  связан, будем называть его графом ассоциированным с шаблоном  $S$ ).

**Замечание 3.** Условие связности графа ассоциированного с шаблоном задаёт разбиение множества  $\mathcal{S}^*$  на два подмножества:

- шаблоны с одной оснащённой поверхностью, оснащение которой является погружением окружности, и пустым дополняющим графом;
- шаблоны с непустым дополняющим графом.

Обозначим через  $\mathcal{S}^*$  множество всех шаблонов. Преимущество шаблонов по сравнению с промежуточными полиэдрами заключается в том, что существование шаблонов легко доказывается при помощи явных построений.

**Теорема 4.** *Множество шаблонов  $\mathcal{S}^*$  бесконечно.*

Теорема 4 следует из предложения 1 и очевидной леммы 1.

**Лемма 1.** *Для любого набора оснащённых поверхностей  $(\Phi_1, \Gamma_1, \gamma_1), \dots, (\Phi_n, \Gamma_n, \gamma_n)$  и любого графа  $\Gamma_0$ , их дополняющего, можно подобрать такую биекцию  $\kappa$  между вершинами валентности 1 графа  $\Gamma_0$  и вершинами графов  $\Gamma_1, \dots, \Gamma_n$ , что граф  $AG = \Gamma_0 \cup_{\kappa} \sqcup_{i=1}^n \Gamma_i$  будет связным.*

**Замечание 4.** *Каждому шаблону  $S$  естественным образом сопоставляется промежуточный полиэдр. Заметим, что вершины валентности 3 графов  $\gamma_i^S(\Gamma_i^S)$  находятся во взаимно-однозначном соответствии с вершинами графов  $\Gamma_i^S$ , а потому можно считать, что биекция  $\kappa^S$  задана между множеством вершин валентности 1 дополняющего графа  $\Gamma_0^S$  и множеством вершин валентности 3 графов  $\gamma_i^S(\Gamma_i^S)$ . Наконец, оснащение  $\gamma_i^S : \Gamma_i^S \rightarrow \Phi_i^S$  поверхности  $\Phi_i^S$  задаёт на ней структуру двумерного клеточного комплекса с единственной 2-клеткой. А потому промежуточный полиэдр, соответствующий шаблону  $S$ , получается в результате склейки оснащённых поверхностей с дополняющим графом посредством биекции  $\kappa^S$ .*

**3.3. Комбинаторное разложение гомологически минимальных полиэдров.** Определим отображение  $\mathcal{D}$  из множества гомологически минимальных полиэдров  $\mathcal{P}_e^*$  в множество всех шаблонов  $\mathcal{S}^*$ . Фиксируем  $P \in \mathcal{P}_e^*$  и построим по нему шаблон  $\mathcal{D}(P)$ . Для этого нужно задать набор оснащённых поверхностей, дополняющий граф и биекцию шаблона.

Сначала зададим набор оснащённых поверхностей. Для этого заметим следующее свойство чётных 2-клеток.

**Лемма 2.** *Замыкание чётной 2-клетки специального полиэдра  $P$  является поверхностью в  $P$ . При этом поверхности, отвечающие разным чётным 2-клеткам, не пересекаются.*

*Доказательство.* Пусть  $\alpha$  — чётная 2-клетка полиэдра  $P$ . Покажем, что её замыкание является поверхностью, вложенной в полиэдр  $P$ . Несложно видеть, что в замыкание 2-клетки  $\alpha$  попадают ребра и вершины особого графа  $SP$ , по которым проходит граничная кривая  $\partial\alpha$ . Покажем, что у каждой точки  $x$  в замыкании 2-клетки  $\alpha$  есть окрестность, гомеоморфная  $D^2$ . Если  $x$  лежит на ребре особого графа, то наличие такой окрестности следует из того, что по данному ребру граничная кривая  $\partial\alpha$  проходит дважды. В случае, когда  $x$  является вершиной особого графа  $SP$ , наличие шаровой окрестности видно из рисунка 2.

Поймем теперь, что поверхности, отвечающие разным чётным 2-клеткам, не пересекаются. Для этого достаточно проверить, что у них нет общих ребер и вершин в особом графе. Так как чётные 2-клетки проходят по каждому ребру особого графа полиэдра  $P$  четное число раз, то никакие две поверхности не могут пересекаться на ребрах. И, наконец, граничные кривые 2-клеток не могут пересекаться в вершинах, так как граничная кривая любой чётной 2-клетки, проходя через вершину, проходит хотя бы по трём из четырех ребер. Тогда если граничные кривые двух чётных 2-клеток пересекаются в вершине, то они пересекаются и по ребру, что невозможно.  $\square$

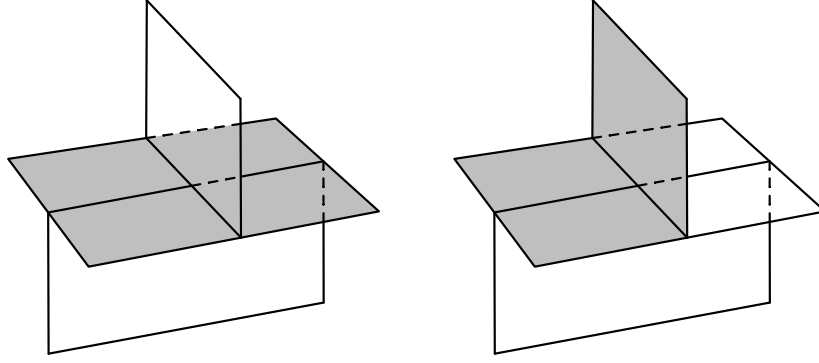


Рис. 2. Возможные с точностью до гомеоморфизма бабочки окрестности истинной вершины специального полиэдра попадающей в замыкание чётной 2-клетки (она выделена серым цветом).

Обозначим через  $d(P)$  число 2-клеток специального полиэдра  $P$ . В дальнейшем будем писать  $d$ , подразумевая, что специальный полиэдр  $P$  фиксирован. Пусть  $\alpha_0, \dots, \alpha_{d-1}$  — 2-клетки  $P$ , где  $\alpha_0$  нечётная 2-клетка, а остальные — чётные. Поверхность, получающуюся замыканием чётной 2-клетки  $\alpha_i$  согласно лемме 2, обозначим через  $\Phi_i \subset P$ ; положим  $\tilde{\Gamma}_i = SP \cap \Phi_i$  для  $i \in \{1, \dots, d-1\}$ . Поймём, что граф  $\tilde{\Gamma}_i \subset \Phi_i$  является образом некоторого оснащения.

**Лемма 3.** *Для каждого  $i \in \{1, \dots, d-1\}$  на поверхности  $\Phi_i$  можно задать такое оснащение  $\gamma_i : \Gamma_i \rightarrow \Phi_i$ , что  $\gamma_i(\Gamma_i) = \tilde{\Gamma}_i$ .*

*Доказательство леммы 3.* Сначала разберём случай, когда  $d = 2$  и  $\tilde{\Gamma}_1 = SP$ . В этом случае граничная кривая нечётной 2-клетки задаёт оснащение поверхности  $\Phi_1$ .

Иначе граф  $\tilde{\Gamma}_i$  является фрагментом особого графа  $SP$  и разбивается на набор рёберно-простых путей, начинающихся и заканчивающихся в вершинах валентности 3, и отвечающих проходам граничной кривой нечётной 2-клетки по поверхности  $\Phi_i$ . Это и задаёт оснащение. А именно, на множестве вершин валентности 3 графа  $\tilde{\Gamma}_i$  построим граф  $\Gamma_i$ , сопоставив каждому рёберно-простому пути в графе  $\tilde{\Gamma}_i$  ребро в графе  $\Gamma_i$  между концевыми вершинами пути. Погружение  $\gamma_i$  инъективно в окрестности вершин графа  $\Gamma_i$  и отображает его рёбра назад в рёберно-простые пути на графе  $\tilde{\Gamma}_i \subset \Phi_i$ , описанные выше.  $\square$

Для каждого  $i \in \{1, \dots, d-1\}$  зафиксируем оснащение  $\gamma_i : \Gamma_i \rightarrow \Phi_i$  поверхности  $\Phi_i$ , построенное в лемме 3.

Для набора оснащённых поверхностей  $\{(\Phi_i, \Gamma_i, \gamma_i)\}_{i=1}^{d-1}$  зададим дополняющий граф и биекцию между вершинами валентности 1 дополняющего графа и вершинами графов  $\Gamma_1, \dots, \Gamma_{d-1}$ . Через  $\Gamma_0$  обозначим граф, получающийся замыканием (внутри  $SP$ ) объединения всех рёбер графа  $SP$ , не содержащихся в графах  $\tilde{\Gamma}_1, \dots, \tilde{\Gamma}_{d-1}$ . Из построений видно, что вершины валентности 1 графа  $\Gamma_0$  находятся во взаимно-однозначном соответствии с вершинами валентности 3 графов  $\tilde{\Gamma}_1, \dots, \tilde{\Gamma}_{d-1}$ , которые в свою очередь соответствуют вершинам графов  $\Gamma_1, \dots, \Gamma_{d-1}$ . Имеющуюся биекцию обозначим через  $\kappa$ . Остаётся проверить связность ассоциированного графа.

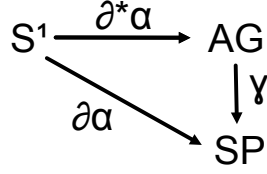


Рис. 3. Поднятие граничного отображения нечётной 2-клетки в ассоциированный граф.

**Лемма 4.** *Граф  $AG = \Gamma_0 \cup_{\kappa} \sqcup_{i=1}^{d-1} \Gamma_i$  связан.*

*Доказательство леммы 4.* Отметим, что оснащения  $\{\gamma_i\}_{i=1}^{d-1}$  в совокупности задают отображение  $\gamma : AG \rightarrow SP$ , которое инъективно на дополняющем графе  $\Gamma_0$  и совпадает с погружениями  $\gamma_i$  на графах  $\Gamma_i$  для каждого  $i \in \{1, \dots, d-1\}$ . Граничное отображение  $\partial \alpha_0 : S^1 \rightarrow SP$  нечётной 2-клетки  $\alpha_0$  полиэдра  $P$  поднимается до отображения  $\partial^* \alpha_0 : S^1 \rightarrow AG$ . А именно, диаграмма, изображённая на рисунке 3, коммутативна. При этом отображение  $\partial^* \alpha_0 : S^1 \rightarrow AG$  сюръективно. Следовательно граф  $AG$  связан.  $\square$

Таким образом, гомологически минимальному полиэдру  $P$  соответствует шаблон  $\mathcal{D}(P)$ , состоящий из набора оснащённых поверхностей  $\{(\Phi_i, \Gamma_i, \gamma_i)\}_{i=1}^{d-1}$ , дополняющего графа  $\Gamma_0$  и биекции  $\kappa$ . А, следовательно, мы определили отображение  $\mathcal{D} : \mathcal{P}_e^* \rightarrow \mathcal{S}^*$ . Назовём его *комбинаторным разложением*.

**3.4. Сюръективность комбинаторного разложения.** Напомним, что шаблоны вводились в качестве инструмента для построения гомологически минимальных полиэдров. В предыдущем разделе было определено отображение  $\mathcal{D} : \mathcal{P}_e^* \rightarrow \mathcal{S}^*$ , сопоставляющее гомологически минимальным полиэдрам шаблоны. Теперь в теореме 5 мы покажем, что отображение комбинаторного разложения сюръективно. Для доказательства теоремы мы предъявим явную конструкцию, как по шаблону  $S$  построить такой гомологически минимальный полиэдр  $P$ , что  $\mathcal{D}(P) = S$ .

**Теорема 5.** *Отображение комбинаторного разложения  $\mathcal{D} : \mathcal{P}_e^* \rightarrow \mathcal{S}^*$  сюръективно.*

Для доказательства теоремы понадобится следующая лемма.

**Лемма 5.** *Для любого шаблона  $S$  существует специальный полиэдр  $\tilde{P}$  с краем, обладающий единственной 2-клеткой, и такой, что  $S\tilde{P} = \Gamma_0^S$  и  $\partial\tilde{P} = \sqcup_i \Gamma_i^S$ .*

*Доказательство.* Чтобы построить  $\tilde{P}$ , необходимо к графу  $AG^S$ , ассоциированному с шаблоном  $S$ , приклеить ровно одну 2-клетку, которую обозначим через  $\alpha$ , так, чтобы у всех точек графа  $AG^S$  образовались правильные окрестности, а именно:

- (1) у точек на рёбрах графа  $\Gamma_0^S$  — окрестности тройных точек, а у точек на рёбрах графов  $\Gamma_1^S, \dots, \Gamma_n^S$  — окрестности неособых точек края;
- (2) у вершин валентности 4 графа  $\Gamma_0^S \subset AG^S$  — окрестности истинных вершин, а у остальных вершин графа  $AG^S$  — окрестности особых точек края.

Переформулируем данные условия в терминах граничного отображения  $\partial \alpha : S^1 \rightarrow AG^S$ .

- (1) По рёбрам графа  $\Gamma_0^S \subset AG^S$  граничная кривая должна проходить трижды, а по остальным рёбрам графа  $AG^S$  — по одному разу, при этом каждый проход граничной кривой по ребру монотонен.
- (2) Через вершину  $v$  валентности 4 графа  $\Gamma_0^S$  граничная кривая должна проходить шестью способами так, чтобы по каждой паре рёбер, инцидентных  $v$ , соответствовал один проход. Через остальные вершины графа  $AG^S$  граничная кривая должна проходить трижды, причём каждому проходу соответствует пара инцидентных данной вершине рёбер, одним из которых является ребро графа  $\Gamma_0^S$ , а другим — ребро графов  $\Gamma_1^S, \dots, \Gamma_n^S$ .

Пользуясь условиями (1) и (2) сформулированными в терминах граничного отображения, можно забыть про приклеивание 2-клетки и искать цикл в графе  $AG^S$ , удовлетворяющий данным условиям. Покажем, что такой цикл существует в два шага:

Шаг 1 Заметим, что условия (1) и (2) не накладывают ограничений на число циклов. А, следовательно, на графе  $AG^S$  можно строить несколько циклов и накладывать условия (1) и (2) на них в совокупности.

Шаг 2 Объединить циклы, построенные на шаге 1, в один цикл.

Шаг 1. Покажем, что на графе  $AG^S$  можно задать несколько циклов так, чтобы условия (1) и (2) выполнялись для них в совокупности. Для этого будем последовательно строить циклы на графе  $AG^S$  и отмечать, сколько раз построенные циклы прошли по каждому ребру и какие проходы через вершины были задействованы. Ребро графа  $AG^S$  назовём *свободным*, если оно является ребром графа  $\Gamma_0$  (соотв., графов  $\Gamma_1, \dots, \Gamma_n$ ) и по нему ранее построенные циклы в совокупности прошли менее трёх раз (соотв., не прошли ни разу). Изначально, всё рёбра графа  $AG^S$  свободны. Опишем алгоритм.

Пока имеются свободные рёбра, начинаем новый цикл с любого свободного ребра в любом из двух возможных направлений. При переходе по ребру в вершину, проверяем, какие из проходов через данную вершину и содержащие данное ребро не были задействованы и выбираем любой из таких проходов, тем самым попадая на следующее свободное ребро. Всякий раз переходя на новое ребро, отмечаем на нём один проход. Данный процесс остановится только в том случае, когда не удастся пройти через вершину. Заметим, что в таком случае мы остановились на изначальном ребре в изначальном выбранном направлении, что завершает построение цикла.

Шаг 2. Пусть на графе  $AG^S$  согласно Шагу 1 существуют более одного цикла, удовлетворяющих условиям (1) и (2). Последовательно будем уменьшать число циклов, объединяя их на рёбрах графа  $\Gamma_0^S$ , пока не останется единственный цикл. Эту процедуру можно сделать в силу связности графа  $AG^S$ . В результате получим искомое граничное отображение  $\partial\alpha$ .  $\square$

*Доказательство теоремы 5.* Научимся восстанавливать гомологически минимальный полиэдр по данному шаблону из  $\mathcal{S}^*$ . Фиксируем шаблон  $S$ , состоящий из набора оснащённых поверхностей  $(\Phi_1^S, \Gamma_1^S, \gamma_1^S), \dots, (\Phi_n^S, \Gamma_n^S, \gamma_n^S)$ , графа  $\Gamma_0^S$  и биекции  $\kappa^S$ .

В силу леммы 5 существует специальный полиэдр  $\tilde{P}$  с краем, обладающий единственной 2-клеткой, и такой, что  $S\tilde{P} = \Gamma_0^S$  и  $\partial\tilde{P} = \sqcup_i \Gamma_i^S$ . Поскольку для каждого  $i \in \{1, \dots, n\}$  определено погружение  $\gamma_i^S : \Gamma_i^S \rightarrow \Phi_i^S$ , получаем отображение

$$\gamma : \partial\tilde{P} \rightarrow \sqcup_{i=1}^n \Phi_i^S.$$

Искомый гомологически минимальный полиэдр определяется по формуле:

$$P = \tilde{P} \cup_{\gamma} \sqcup_{i=1}^n \Phi_i^S.$$

□

**Следствие 1.** *Гомологически минимальные полиэдры можно задавать при помощи шаблонов.*

#### 4. УТОЛЩАЕМОСТЬ ГОМОЛОГИЧЕСКИ МИНИМАЛЬНЫХ ПОЛИЭДРОВ

Как было показано в разделе 3.4, гомологически минимальные полиэдры можно задавать при помощи шаблонов. Полиэдры, комбинаторное разложение которых совпадает с шаблоном  $S$ , будем называть *прообразами* шаблона  $S$ . Естественно задаться вопросом, при каких условиях шаблон обладает утолщаемыми прообразами, такие шаблоны будем называть *утолщаемыми*. Множество всех утолщаемых шаблонов обозначим через  $\mathcal{S} \subset \mathcal{S}^*$ .

Будем говорить, что 2-клетка  $\alpha$  специального полиэдра  $P$  обладает *противоходом* на ребре  $e$  особого графа  $SP$ , если её граничная кривая  $\partial\alpha$  проходит по ребру  $e$  в противоположных направлениях. Отметим, что понятие противохода не зависит от выбора ориентации граничной кривой  $\partial\alpha$ . Шаблон  $S$  будем называть *шаблоном с противоходом*, если существует прообраз  $S$ , нечётная 2-клетка которого обладает противоходом на одном из рёбер особого графа. Множество шаблонов с противоходом обозначим через  $\mathcal{S}^c$ . Выяснилось, что множество шаблонов с противоходом характеризуется как подмножество  $\mathcal{S}^*$  исключительно в терминах комбинаторики шаблонов.

**Предложение 2.** *Пусть  $S$  — шаблон. Следующие условия эквивалентны:*

- (1) шаблон  $S$  является шаблоном с противоходом;
- (2) нечётная 2-клетка любого прообраза шаблона  $S$  имеет противоход на одном из рёбер особого графа;
- (3) выполнено одно из двух условий:
  - (а) граф  $\Gamma_0^S$  шаблона  $S$  содержит хотя бы одну вершину валентности 4;
  - (б)  $\Gamma_0^S$  не содержит вершин валентности 4, и при этом граф  $AG^S$ , ассоциированный с шаблоном  $S$ , не является двудольным.

Предложение 2 будет доказано в разделе 4.1; из него видно, что множество  $\mathcal{S}^c$  шаблонов с противоходом покрывает большую часть множества всех шаблонов  $\mathcal{S}^*$ . Они интересны тем, что обладают утолщаемыми прообразами. Дальнейший анализ дополнения  $\mathcal{S}^* \setminus \mathcal{S}^c$  на наличие утолщаемых шаблонов приводит к следующему результату.

**Теорема 6.** *Справедливы следующие утверждения:*

- (1) Любой шаблон с противоходом обладает как утолщаемым, так и не утолщаемым прообразом;
- (2) Все прообразы шаблона из  $\mathcal{S}^* \setminus \mathcal{S}^c$  либо одновременно утолщаемы, либо нет.

Теорема 6 будет доказана в разделе 4.2; из неё независимо от результатов работы [10] следует бесконечность класса  $\mathcal{M}_e$ .

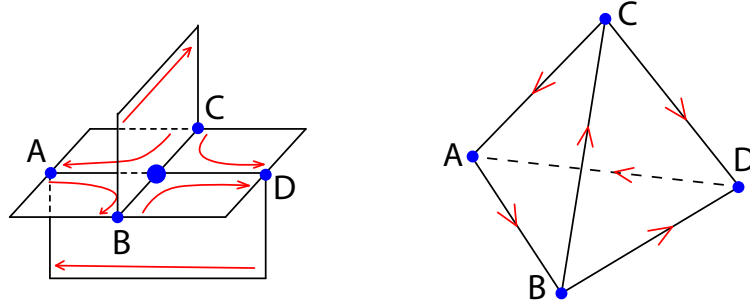


Рис. 4. Наличие противотока нечётной 2-клетки на одном из рёбер особого графа, инцидентных вершине  $v$ .

**Теорема 7.** *Класс  $\mathcal{M}_e$  не пуст и бесконечен.*

*Доказательство.* Множество шаблонов с противотоком бесконечно в силу теоремы 4, и по теореме 6 каждый шаблон с противотоком обладает утолщаемым прообразом, б, следовательно, задаёт многообразие из класса  $\mathcal{M}_e$ . Наконец, триангуляционная сложность полученных многообразий явным образом восстанавливается по шаблонам и она не ограничена сверху.  $\square$

**Замечание 5.** *Согласно замечанию 3 среди множества всех шаблонов выделяются шаблоны с пустым дополняющим графом. Несложно показать, что все такие шаблоны заведомо утолщаемы.*

4.1. **Доказательство предложения 2.** Для доказательства предложения 2 потребуются леммы 6, 7 и 8.

**Лемма 6.** *Пусть  $S$  — шаблон такой, что его дополняющий граф содержит вершину  $v$  валентности 4. Тогда нечётная 2-клетка любого специального полиэдра из  $\mathcal{D}^{-1}S$  содержит противоток на одном из рёбер особого графа, инцидентных вершине  $v$ .*

*Доказательство.* Пусть  $P$  — гомологически минимальный полиэдр такой, что  $\mathcal{D}(P) = S$ . Поскольку по каждому ребру, инцидентному вершине  $v$ , нечётная 2-клетка проходит трижды, то задача поиска противотока на одном из четырёх рёбер инцидентных вершине  $v$  эквивалентна поиску вершины тетраэдра с заданной на нем ориентацией ребер, которая не является ни источником, ни стоком (см. рис. 4).  $\square$

**Лемма 7.** *Пусть дополняющий граф шаблона  $S$  не содержит вершин валентности 4, и  $\mathcal{D}^{-1}S$  содержит хотя бы один прообраз, нечётная 2-клетка которого не обладает противотоком ни на одном ребре особого графа. Тогда ассоциированный граф является двудольным.*

*Доказательство.* Пусть  $P$  — гомологически минимальный полиэдр такой, что  $\mathcal{D}(P) = S$  и его нечётная 2-клетка  $\alpha$  не обладает противотоком ни на одном ребре особого графа. Тогда ориентация граничной кривой  $\partial\alpha$  задаёт ориентацию особого графа  $SP$ . При помощи комбинаторного разложения, ориентацию с  $SP$  можно перенести на компоненты шаблона: дополняющий граф  $\Gamma_0^S$  и оснащения  $\Gamma_1^S, \dots, \Gamma_{d-1}^S$ . Обратив ориентацию рёбер дополняющего графа,

зададим ориентацию рёбер ассоциированного графа, у которого каждая вершина является либо источником, либо стоком, а значит, он двудолен.  $\square$

**Лемма 8.** Пусть  $S$  — шаблон такой, что его дополняющий граф не содержит вершин валентности 4, и при этом ассоциированный граф является двудольным. Тогда нечётная 2-клетка любого прообраза шаблона  $S$  не обладает противоходом ни на одном ребре особого графа.

*Доказательство.* Пусть  $P$  — гомологически минимальный полиэдр такой, что  $\mathcal{D}(P) = S$ . Проведём рассуждения из доказательства леммы 7 в обратную сторону, ориентируя все рёбра ассоциированного графа от "источников" к "стокам" и обратив ориентацию на рёбрах графа шаблона  $S$ , дополняющего набор оснащённых поверхностей шаблона. Несложно видеть, что это задаёт ориентацию граничной кривой нечётной 2-клетки полиэдра  $P$ .  $\square$

Теперь докажем предложение 2. Покажем, что 3 следует из 1. От противного, предположим, что дополняющий граф шаблона  $S$  не содержит вершин валентности 4, и ассоциированный граф шаблона  $S$  двудолен, тогда по лемме 8 ни один прообраз шаблона  $S$  не обладает противоходом ни на одном ребре особого графа. Значит шаблон  $S$  не является шаблоном с противоходом по определению.

Покажем, что 2 следует из 3. Если дополняющий граф шаблона  $S$  содержит хотя бы одну вершину валентности 4, то используем лемму 6, иначе используем лемму 7 и получаем требуемое.

Наконец 1 следует из 2 по очевидным соображениям.

**4.2. Доказательство теоремы 6.** Из определения тривиального и нетривиального нормальных расслоений граничной кривой 2-клетки специального полиэдра легко вывести следующий факт.

**Предложение 3.** Чётная 2-клетка имеет тривиальное нормальное расслоение.

В качестве прямого следствия теоремы 3 и предложения 3 получаем критерий утолщаемости для гомологически минимальных полиэдров.

**Лемма 9.** Гомологически минимальный полиэдр утолщаем тогда и только тогда, когда его нечётная 2-клетка имеет тривиальное нормальное расслоение.

Теорема 6 следует из лемм 10 и 11.

**Лемма 10.** Для любого шаблона  $S$  с противоходом существуют гомологически минимальные полиэдры  $P_1 \in \mathcal{P}_e$  и  $P_2 \in \mathcal{P}_e^* \setminus \mathcal{P}_e$  такие, что  $\mathcal{D}(P_1) = \mathcal{D}(P_2) = S$ .

*Доказательство.* В силу сюръективности комбинаторного разложения, выберем произвольный гомологически минимальный полиэдр  $P_1$  из  $\mathcal{D}^{-1}S$ . По определению шаблонов с противоходом нечётная 2-клетка  $\alpha$  полиэдра  $P_1$  обладает противоходом на одном из рёбер особого графа  $SP_1$ , обозначим его через  $e$ . Тогда  $\partial\alpha$  проходит по ребру  $e$  трижды. Изменим проход граничной кривой  $\partial\alpha$  по ребру  $e$  как показано на рисунке 5 и получим новый специальный полиэдр, который обозначим через  $P_2$ . По построению  $\mathcal{D}(P_2) = S$ . Поймём, что один из полиэдров  $P_1$  и  $P_2$  утолщаем, а другой — нет.

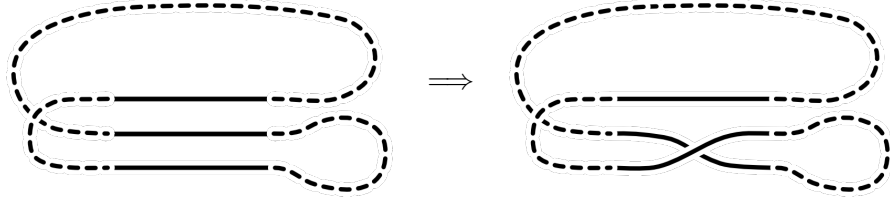


Рис. 5. Нечётная перекрутка на ребре особого графа.

Действительно, в силу леммы 9 вопрос утолщаемости полиэдров  $P_1$  и  $P_2$  сводится к вопросу тривиальности нормального расслоения нечётной 2-клетки. Несложно видеть, что преобразование граничного отображения 2-клетки  $\alpha$  на ребре  $e$ , изображённое на рисунке 5, меняет тип нормального расслоения, а потому если  $P_1$  утолщаем, то  $P_2$  — нет, и наоборот.  $\square$

**Лемма 11.** Пусть  $S \in \mathcal{S}^* \setminus \mathcal{S}^c$  — шаблон,  $P_1, P_2 \in \mathcal{D}^{-1}S$ . Тогда  $P_1$  и  $P_2$  либо одновременно утолщаемы, либо одновременно не утолщаемы.

*Доказательство.* В силу предложения 2, ассоциированный граф шаблона  $S$  двудолен. Конструкция из доказательства леммы 7 задаёт ориентацию граничных кривых нечётных 2-клеток  $\alpha_1$  и  $\alpha_2$  полиэдров  $P_1$  и  $P_2$ . Заметим, что граничную кривую  $\partial\alpha_1$  можно преобразовать в граничную кривую  $\partial\alpha_2$  при помощи конечного числа "перекруток" на рёбрах графа  $\Gamma_0^S$ , дополняющего набор поверхностей шаблона  $S$ .

Формальнее, нужно применить конструкцию из доказательства леммы 5. Граничные кривые  $\partial\alpha_1$  и  $\partial\alpha_2$  нужно представить как циклы, заданные на особом графе (у полиэдров  $P_1$  и  $P_2$  особые графы отождествлены). В общем случае, цикл может быть не один, но состоять их нескольких связных компонент. По каждому ребру графа  $\Gamma_0^S$  набор циклов суммарно проходит трижды, а потому каждому ребру графа  $\Gamma_0^S$  можно сопоставить три дуги, лежащие на каких-то циклах из набора. Под "перекрутками" на рёбрах нужно понимать разрезание трёх дуг, отвечающих данному ребру, и склейку получившихся концов одним из шести способов, кодируемых перестановками симметрической группы  $S_3$ . Отметим, что в процессе преобразований, описанных выше, ориентации всех циклов набора согласованны на каждом ребре дополняющего графа.

Несложно видеть, что нечётные перестановки на рёбрах изменяют чётность числа циклов в наборах, в то время как чётные перестановки — нет. А потому в процессе преобразований от граничной кривой  $\partial\alpha_1$  к кривой  $\partial\alpha_2$  будет задействовано чётное число нечётных перестановок, следовательно тип нормального расслоения не поменяется. Откуда в силу леммы 9 полиэдры  $P_1$  и  $P_2$  либо одновременно утолщаемы, либо одновременно не утолщаемы.  $\square$

## 5. ДОКАЗАТЕЛЬСТВО ТЕОРЕМЫ 1

Покажем, что существует такое отображение  $H : \mathcal{S}^* \rightarrow \mathcal{A}$ , что для любого многообразия  $M \in \mathcal{M}_e$  и его гомологически минимального специального спайна  $P$  выполнялось равенство

$$(1) \quad G(M) = H(\mathcal{D}(P)).$$

Для этого введём понятие поверхности в специальном спайне, параллельной краю многообразия. Будем говорить, что нормальная поверхность в идеальной триангуляции компактного 3-многообразия с непустым краем *параллельна краю* многообразия, если она нормально изотопна некоторой поверхности на крае, при этом в процессе изотопии тип нормальной поверхности остаётся постоянным. Несложно видеть, что нормальная поверхность параллельна краю тогда и только тогда, когда её пересечение с тетраэдрами триангуляции состоит из треугольников, и при этом число треугольников при каждой вершине тетраэдра не превосходит одного. Напомним, что специальный спайн 3-многообразия естественным образом вкладывается в двойственную идеальную триангуляцию, более того, каждая поверхность в специальном спайне оказывается нормальной поверхностью в идеальной триангуляции. Будем говорить, что поверхность в специальном спайне *параллельна краю*, если она параллельна краю многообразия как нормальная поверхность в двойственной идеальной триангуляции.

В силу леммы 2 каждой чётной 2-клетке соответствует поверхность в гомологически минимальном спайне. Оказалось, что короткие компоненты края многообразия из  $M \in \mathcal{M}_e$  находятся во взаимно-однозначном соответствии с поверхностями в минимальном спайне параллельными краю. Связь края многообразий из  $M \in \mathcal{M}_e$  с анатомией гомологически минимальных триангуляций, описанная в [11], позволяет заключить следующее.

**Предложение 4.** Пусть  $P$  – гомологически минимальный спайн многообразия  $M \in \mathcal{M}_e$ , и  $S = \mathcal{D}(P)$ . Тогда

- (i) коротким компонентам края  $\partial M$  соответствуют те поверхности  $\Phi_1^S, \dots, \Phi_{d(P)-1}^S$  шаблона  $S$ , оснащения которых являются вложениями;
- (ii) более того  $\beta_2(M, \mathbb{Z}/2\mathbb{Z}) = d(P) - 1$ .

Предложение 4 позволяет задать искомое отображение  $H$ .

**Замечание 6.** Из предложения 4 видно, что образ шаблона под действием отображения  $H$  зависит только от набора оснащённых поверхностей этого шаблона.

**Лемма 12.** Сужение отображения  $H$  на множество шаблонов с противоходом сюръективно.

*Доказательство.* Зафиксируем допустимую пару  $(\mathcal{F}, b)$  и построим шаблон  $S$  с противоходом такой, что  $H(S) = (\mathcal{F}, b)$ . Возьмём следующий набор из  $b$  оснащённых поверхностей:

- компоненты связности поверхности  $\mathcal{F}$ ; в силу предложения 1 на них можно задать оснащения, являющиеся вложениями;
- $b - |\mathcal{F}|$  произвольных поверхностей отрицательной эйлеровой характеристики; в силу предложения 1 на них можно задать оснащения обладающие двойными точками.

Далее выберем граф  $\Gamma_0$ , дополняющий набор поверхностей и содержащий хотя бы одну вершину валентности 4. Наконец, воспользуемся замечанием 1 и получим искомый шаблон.  $\square$

**Следствие 2.** Отображение  $G : \mathcal{M}_e \rightarrow \mathcal{A}$  сюръективно.

*Доказательство.* Поскольку отображение  $H$ , суженное на множество шаблонов с противоходом, сюръективно в силу леммы 12, любой шаблон с противоходом обладает утолщаемым прообразом в силу теоремы 6, и справедлива формула 1, то отображение  $G$  сюръективно.  $\square$

Зафиксируем допустимую пару  $(\mathcal{F}, b)$ . Для доказательства теоремы, нужно рассмотреть полный прообраз пары  $(\mathcal{F}, b)$  относительно отображения  $G$ . Вместо этого рассмотрим прообраз пары  $(\mathcal{F}, b)$  относительно отображения  $H$ . В силу замечания 6 и леммы 12, найдётся такой набор оснащённых поверхностей  $\mathbb{F} = \{(\Phi_i, \Gamma_i, \gamma_i)\}_{i=1}^b$ , что образ любого шаблона с набором оснащённых поверхностей  $\mathbb{F}$  под действием отображения  $H$  совпадает с парой  $(\mathcal{F}, b)$ . Подмножество шаблонов с противоположным, обладающих набором оснащённых поверхностей  $\mathbb{F}$ , обозначим через  $\mathcal{S}_{\mathbb{F}}^c$ .

**Лемма 13.** *Число шаблонов в  $\mathcal{S}_{\mathbb{F}}^c$  бесконечно и имеет асимптотику типа  $m^m$  как функция от числа  $m$  вершин валентности 4 дополняющего графа.*

*Доказательство.* Обозначим через  $G_{m,k}$  множество графов (рассматриваемых с точностью до гомеоморфизма), содержащих в точности  $m$  вершин валентности 4 и  $k$  вершин валентности 1. В качестве прямого обобщения оценки из работы [10, Предложение 4.2], можно доказать, что для любого фиксированного  $k \in \mathbb{N}$  последовательность  $\{\#G_{m,k}\}_{m=1}^{\infty}$  растёт как  $m^m$ . Остаётся воспользоваться замечанием 1 и заключить, что шаблоны с негомеоморфными дополняющим графами различны.  $\square$

В силу теоремы 6 каждому шаблону из  $\mathcal{S}_{\mathbb{F}}^c$  можно сопоставить утолщаемый гомологически минимальный полиэдр (возможно не единственным способом), и, следовательно, многообразие из класса  $\mathcal{M}_e$ . Отметим, что различным шаблонам из  $\mathcal{S}_{\mathbb{F}}^c$  будут соответствовать негомеоморфные многообразия, поскольку многообразия из класса  $\mathcal{M}_e$  обладают единственными минимальными специальными спайнами. Более того, полученные по шаблонам из  $\mathcal{S}_{\mathbb{F}}^c$  многообразия попадают в  $G^{-1}(\mathcal{F}, b)$ . А потому для доказательства теоремы 1 остаётся лишь выразить сложность полученных многообразий через характеристики шаблонов.

**Замечание 7.** *Пусть  $P$  - утолщаемый гомологически минимальный полиэдр из  $\mathcal{D}^{-1}(\mathcal{S}_{\mathbb{F}}^c)$ . Тогда число истинных вершин  $v(P)$  специального полиэдра  $P$  отличается от числа вершин валентности 4 графа, дополняющего набор поверхностей шаблона  $\mathcal{D}(P)$ , на константу, зависящую лишь от набора оснащённых поверхностей  $\mathbb{F}$ .*

Поскольку триангуляционная сложность многообразий из  $\mathcal{M}_e$  совпадает с числом истинных вершин гомологически минимальных спайнов, то оценка из леммы 13 и замечание 7 завершают доказательство теоремы.

## 6. ДОКАЗАТЕЛЬСТВО ТЕОРЕМЫ 2

Пусть ориентируемое многообразие  $M$  принадлежит множеству  $\mathcal{M}_{g,k}$  для некоторых  $g \geq k > 0$ . Покажем,  $G(M) = (\sqcup_{i=1}^k \mathbb{T}_i, k)$ , где  $\mathbb{T}_i$  — торы. По определению множества  $\mathcal{M}_{g,k}$ , короткие компоненты края  $\partial M$  являются торами, и их ровно  $k$  штук. Остаётся выразить второе число Бетти  $\beta_2(M, \mathbb{Z}/2\mathbb{Z})$  многообразия  $M$ . Из [10, Теорема 1.2] известно, что  $c_{\Delta}(M) = g + k$ . Поскольку  $M \in \mathcal{M}_e$ , то  $\beta_1(M, \mathbb{Z}/2\mathbb{Z}) = c_{\Delta}(M) = g + k$ . Эйлерова характеристика многообразия  $M$  выражается через эйлерову характеристику края  $\partial M$  и равняется  $1 - g$ . В силу связности

многообразия  $M$  имеем:

$$\begin{aligned}\beta_2(M, \mathbb{Z}/2\mathbb{Z}) &= \chi(M) + \beta_1(M, \mathbb{Z}/2\mathbb{Z}) - \beta_0(M, \mathbb{Z}/2\mathbb{Z}) \\ &= (1 - g) + (g + k) - 1 \\ &= k.\end{aligned}$$

Пусть теперь ориентируемое многообразие  $M$  лежит в классе  $\mathcal{M}_e$ , и  $G(M) = (\sqcup_{i=1}^k \mathbb{T}_i, k)$  для некоторого  $k > 0$ . Покажем, что тогда  $M$  принадлежит множеству  $\mathcal{M}_{g,k}$  для некоторого  $g \geq k$ . В [11] нами было доказано, что край любого многообразия из класса  $\mathcal{M}_e$  содержит единственную длинную компоненту связности, более того, её род оценивается снизу суммой родов коротких компонент края. Следовательно,  $\partial M = \Sigma_g \cup \sqcup_{i=1}^k \mathbb{T}_i$  для некоторого  $g \geq k$ , где  $\Sigma_g$  — ориентируемая поверхность рода  $g$ . Остаётся показать, что  $M$  обладает гомологически минимальной триангуляцией, содержащей в точности  $g + k$  тетраэдров. Имеем:

$$\begin{aligned}c_\Delta(M) &= \beta_1(M, \mathbb{Z}/2\mathbb{Z}) = \beta_0(M, \mathbb{Z}/2\mathbb{Z}) + \beta_2(M, \mathbb{Z}/2\mathbb{Z}) - \chi(M) \\ &= 1 + k - (1 - g) \\ &= g + k.\end{aligned}$$

## СПИСОК ЛИТЕРАТУРЫ

- [1] P. J. Callahan, M. V. Hildebrand, J. R. Weeks, *A census of cusped hyperbolic 3-manifolds. With microfiche supplement*, Math. Comp., 68:225 (1999), 321–332.
- [2] M. Culler, N. M. Dunfield, M. Goerner, J. R. Weeks, *SnapPy, a computer program for studying the geometry and topology of 3-manifolds*, <http://snappy.computop.org/>.
- [3] B. A. Burton, R. Budney, W. Pettersson, et al., *Regina: Software for low-dimensional topology*, <https://regina-normal.github.io/>.
- [4] E. Fominykh, S. Garoufalidis, M. Goerner, V. Tarkaev, A. Vesnin, *A census of tetrahedral hyperbolic manifolds*, Experimental Mathematics, 25:4 (2016), 466–481.
- [5] M. Fujii, *Hyperbolic 3-manifolds with totally geodesic boundary which are decomposed into hyperbolic truncated tetrahedra*, Tokyo J. Math., 13:2 (1990), 353–373.
- [6] R. Frigerio, B. Martelli, C. Petronio, *Small hyperbolic 3-manifolds with geodesic boundary*, Experiment. Math., 13 (2004), 171–184.
- [7] R. Frigerio, B. Martelli, C. Petronio, *Complexity and Heegaard genus of an infinite class of compact 3-manifolds*, Pacific J. Math., 210:2 (2003), 283–297.
- [8] А. Ю. Веснин, В. Г. Тураев, Е. А. Фоминых, *Сложность виртуальных трехмерных многообразий*, Математический сборник, 207:11 (2016), 4–24.
- [9] А. В. Малютин, Е. А. Фоминых, Е. В. Шумакова, *3-многообразия, задаваемые 4-регулярными графами с тремя эйлеровыми циклами*, УМН, 76:6 (2021), 197–198.
- [10] R. Frigerio, B. Martelli, C. Petronio, *Dehn filling of cusped hyperbolic 3-manifolds with geodesic boundary*, J. Diff. Geom., 64:3 (2003), 425–455.
- [11] E. Fominykh, D. Nigromedyanov, *Minimal ideal triangulations of hyperbolic 3 manifolds with geodesic boundary via  $\mathbb{Z}_2$ -homology*, PDMI preprints (2020).
- [12] S. Matveev, *"Algorithmic topology and classification of 3-manifolds"*, Springer, Berlin, 2007.